

بررسی اثر همزمان تابش لیزری و ناخالصی هیدروژنی بر خواص اپتیکی یک نقطه کوانتومی کروی

نویسنده‌گان

مجتبی ثروت خواه دکترای تخصصی
نیلوفر خواجه‌ای کارشناسی ارشد

چکیده

در این مقاله، هدف بررسی خواص اپتیکی خطی و مرتبه سوم غیر خطی یک ناخالصی هیدروژنی قرارداده شده در مرکز یک نقطه کوانتومی از جنس GaAs/GaAlAs است. فرض می‌شود، سیستم تحت تأثیر یک تابش لیزری با فرکانس بالا قرار دارد. ویژه توابع و ویژه مقادیر مربوطه، با استفاده از روش المان‌های محدود محاسبه می‌گردند. به علاوه؛ خواص اپتیکی خطی، مرتبه سوم غیر خطی به ازای مقادیر متفاوت شاعر نقطه کوانتومی، شدت فوتون‌های فرودی و مقادیر متفاوت تابش لیزری مورد بررسی قرار می‌گیرند؛ تا بینیم که آیا با افزایش شدت فوتون‌های فرودی ضریب جذب کل و تغییرات ضریب شکست کل کاهش می‌یابد؟ همچنین با افزایش شاعر نقطه کوانتومی و تابش لیزری جایه‌جایی سیستم به سمت انرژی‌های کمتر را می‌توان مشاهده کرد یا خیر؟

کلیدوازه: نقاط کوانتومی، تابش لیزری، ناخالصی هیدروژنی، خواص اپتیکی خطی و غیر خطی

۱- مقدمه

نقطه‌های کوانتومی ساختارهای نانو می‌باشند که از هر سه جهت محدود شده‌اند و یکی از زمینه‌های تحقیقاتی مهم در حال توسعه با میزان رشد زیاد می‌باشند. در واقع نقاط کوانتومی نانو کریستال‌هایی هستند که هرچه اندازه کریستال کوچکتر شود، فاصله میان سطوح انرژی نیمه رسانا و همچنین اندازه مؤثر باند منوعه افزایش می‌یابد. یکی از پارامترین مشخصات نقاط کوانتومی این است که ساختار الکترونی آنها بوسیله ترازهای انرژی گستته مشخص می‌گردد.

در سالهای اخیر، مطالعه خواص الکترونی ساختارهای نیمه رسانا که در آنها تکانه حامل‌های بار، در هر

سه جهت، کوانتیده است؛ توجه زیادی را به خود معطوف داشته‌اند. از طرف دیگر به دلیل کاربرد گسترده این ساختارها در وسایل اپتولکترونی در سالهای اخیر، مطالعات گسترده‌ای بر خواص اپتیکی خطی و غیر خطی این نانو ساختارها انجام شده است؛ از جمله این تحقیقات می‌توان به بررسی تأثیرات شدت فوتون‌های فرودی بر خواص اپتیکی، محاسبه اثر وجود ناخالصی و اندازه نقاط کوانتومی بر خواص نوری نقاط کوانتومی اشاره کرد (Hassanabadi, Voss; ۲۰۰۶).

در این تحقیق ضرایب جذب خطی و غیرخطی مرتبه سوم و همچنین تغییرات ضریب شکست خطی و غیر خطی مرتبه سوم یک نقطه کوانتومی در حضور میدان مغناطیسی مورد بررسی قرار می‌گیرد. همچنین اثر وجود ناخالصی بر خواص نوری نقطه کوانتومی در حضور میدان مغناطیسی بررسی می‌گردد.

۲- تئوری

هامیلتونی یک الکترون در یک نقطه کوانتومی کروی با شاعر R در تقریب جرم مؤثر کاهش یافته در حضور همزمان ناخالصی هیدروژنی و یک تابش لیزری با پتانسیل برداری (که Ω فرکانس میدان لیزری است) به صورت معادله (۱) می‌باشد (Herbert, ۲۰۰۰).

$$H = \frac{p^2}{2m} + \frac{1}{2} m^* \omega_0^2 r^2 + V \quad (1)$$

ابتدا لازم به ذکر است که، در منابع متفاوت فرم‌های متفاوتی برای پتانسیل محدود کننده نقطه کوانتومی پیشنهاد شده است که در این مقاله از تقریب پتانسیل هارمونیک استفاده شده است (Herbert, ۲۰۰۰) که در این رابطه جرم مؤثر الکترون، فرکانس پتانسیل هارمونیک و پتانسیل کولنی استار شده توسط تابش لیزری می‌باشد و به صورت زیر نوشته می‌شود:

$$V = -\frac{e^2}{4\pi\epsilon_0(r^2 + a_0^2)^{1/2}} \quad (2)$$

در این رابطه $a_0 = \frac{eA}{m^*c\omega}$ است. به منظور محاسبه خواص اپتیکی سیستم، ابتدا لازم است ویژه مقادیر انرژی و ویژه توابع متناظر با آنها، با در نظر گرفتن ثابت‌های زیر محاسبه شود: که $m_0 = 9.1094 \times 10^{-31} \text{ kg}$ ، $m^* = 0.067m_0$ ، $a_0 = 9.8 nm$ برای GaAs/GaAlAs ثابت دی الکتریک، شاعر مؤثر بوهر برای Rezaei (۲۰۱۱).

شاعر نقطه کوانتومی می‌باشد.

جدول ۱. ممان‌های دو قطبی (M_{ij}) و اختلاف انرژی بین حالت پایه و اولین حالت برانگیخته (E_{21}) به ازای $R = 1\alpha_B$ و $a_0 = 0.5, 2\alpha_B$

| $R(nm)$ | $a_0 (nm)$ | $M_{11} (CM)$ | M_{22} | M_{12} | $E_{21} (J)$ |
|---------------|---------------|---------------------------|---------------------------|---------------------------|--------------------------|
| $0.5\alpha_B$ | $1.5\alpha_B$ | 1.55683×10^{-42} | 1.51017×10^{-43} | 5.38345×10^{-28} | 8.0018×10^{-21} |
| $0.5\alpha_B$ | $2\alpha_B$ | 6.54188×10^{-43} | 3.74276×10^{-42} | 5.53482×10^{-28} | 7.6135×10^{-21} |
| $1\alpha_B$ | $1.5\alpha_B$ | 3.18663×10^{-40} | 1.73216×10^{-29} | 9.79713×10^{-28} | 2.3422×10^{-21} |
| $1\alpha_B$ | $2\alpha_B$ | 2.3422×10^{-21} | 4.7526×10^{-29} | 10.8998×10^{-28} | 1.9599×10^{-21} |

در شکل (۱) نمودارهای ضریب جذب خطی، مرتبه سوم غیر خطی و ضریب جذب کلی و تغییرات ضریب شکست خطی مرتبه سوم غیرخطی و تغییرات ضریب شکست کل نقطه کوانتومی با شاعع $R = 0.5\alpha_B$ به صورت تابعی از انرژی فوتون تابشی و به ازای مقادیر منفاوت تابش لیزری رسم شده‌اند.

با توجه به این نمودارها، مشاهده شده که ضریب جذب خطی همواره ثابت است؛ در حالی که ضریب جذب غیر خطی منفی می‌باشد. پس در این صورت در نظر گرفتن ضریب جذب غیر خطی باعث کاهش ضریب جذب کل می‌شود. علاوه بر این با افزایش تابش لیزری کمینه مقدار ضریب جذب غیر خطی افزایش پیدا می‌کند؛ در حالی با افزایش تابش لیزری میزان تغییرات ضریب شکست کل افزایش می‌یابد، این پدیده به دلیل افزایش ممان دو قطبی با افزایش تابش لیزری می‌باشد.

همانطور که می‌بینیم با افزایش تابش لیزری طیف جذبی و تغییرات ضریب شکست، کل سیستم به سمت انرژی‌های کمتر جابه‌جایی پیدا می‌کند. این روند به دلیل آن است که افزایش تابش لیزری در واقع هم‌ارز کاهش اثر ناخالصی هیدروژنی بر طیف انرژی سیستم می‌باشد؛ بنابراین با افزایش تابش لیزری اختلاف انرژی بین حالت پایه و اولین حالت برانگیخته کاهش پیدا می‌کند که باعث به وجود آمدن این جابه‌جایی در سیستم می‌شود.

به منظور محاسبه خواص اپتیکی خطی و مرتبه سوم غیر خطی از روش ماتریس چگالی و روش اختلال استفاده شده است. ابتدا فرض برآن است که سیستم مورد نظر در یک میدان الکترومغناطیسی $E(t) = \tilde{E}e^{-i\omega t} + \tilde{E}^*e^{i\omega t}$ قرار دارد. در اثر این میدان یک گذار اپتیکی بین حالت پایه و اولین حالت برانگیخته رخ می‌دهد. با استفاده از روش‌های ذکر شده روابط حاکم بر ضریب جذب و تغییرات ضریب شکست خطی و مرتبه سوم غیر خطی از روابط زیر به دست می‌آیند:

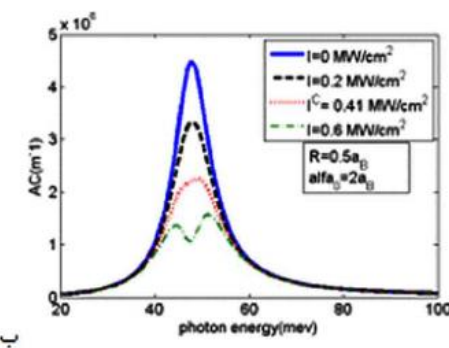
$$dI(\omega) = a^{(1)}(\omega) + a^{(3)}(I, \omega) = \left(\frac{\mu}{2\varepsilon_0 n_e} \frac{|M_{21}|^2 \sigma_v \hbar \Gamma_{12}}{[(E_{21} - \hbar\omega)^2 + (\hbar \Gamma_{12})^2]} \right) + \left(-\omega \frac{\mu}{2\varepsilon_0 n_e} \frac{2|M_{21}|^2 \sigma_v \hbar \Gamma_{12}}{n_r \varepsilon_0 c [(E_{21} - \hbar\omega)^2 + (\hbar \Gamma_{12})^2]^2} \right) \quad (3)$$

$$\Delta n(I, \omega) = \frac{\Delta n^{(1)}(\omega)}{n_e} + \frac{\Delta n^{(3)}(I, \omega)}{n_e} = \frac{1}{2\varepsilon_0 n_e^2} \frac{\sigma_v |M_{21}|^2 (E_{21} - \hbar\omega)}{(E_{21} - \hbar\omega)^2 + (\hbar \Gamma_{12})^2} + \left\{ -\frac{\mu CI}{4\varepsilon_0 n_e^3} \frac{\sigma_v |M_{21}|^2}{[(E_{21} - \hbar\omega)^2 + (\hbar \Gamma_{12})^2]^2} \times \left\{ 4(E_{21} - \hbar\omega) |M_{21}|^2 - \frac{(M_{22} - M_{11})^2}{E_{21}^2 + (\hbar \Gamma_{12})^2} \right. \right. \\ \left. \left. \times \left[(E_{21} - \hbar\omega)(E_{21} - \hbar\omega) - (\hbar \Gamma_{12})^2 \right] \right\} \right\} \quad (4)$$

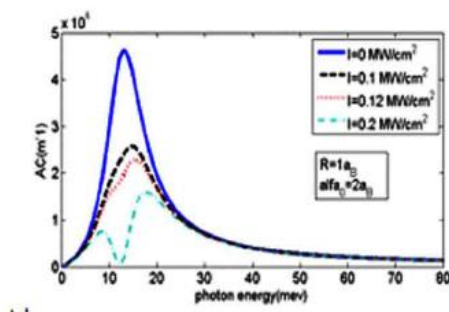
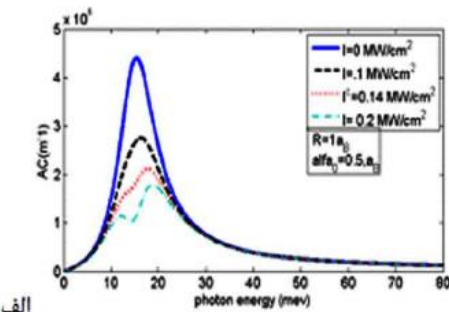
در محاسبات انجام شده چگالی حامل‌های بار برابر $\sigma_v = 5*10^{24} m^{-3}$ ، ضریب شکست نیمه هادی $= 3.2$ و زمان واهلش برابر با $T_{12} = 0.14$ می‌شود. در روابط بالا $E_{21} = E_2 - E_1$ اختلاف انرژی بین حالت‌هایی است که گذار بین آنها اتفاق می‌افتد ($|M_{21}| = 2|e|/4$ عناصر ماتریس Safarpour, ۲۰۱۱, Xie, ۲۰۱۲). لازم به ذکر است که به دلیل پیچیدگی در ساختار مورد نظر از روش المان محدود برای بدست آوردن ویژه توابع و ویژه مقادیر انرژی استفاده شده است.

۳- شبیه سازی عددی

به منظور محاسبه خواص اپتیکی سیستم لازم است که ابتدا ممان‌های دو قطبی (M_{21}) و همچنین اختلاف انرژی بین حالت پایه و اولین حالت برانگیخته (E_{21}) را محاسبه کنیم. در جدول (۱) این کمیتها برای دو نقطه کوانتومی به شاعرهای $R = 1\alpha_B$ و $R = 2\alpha_B$ و به ازای تابش‌های مختلف میدان لیزری $a_0 = 0.5, 2\alpha_B$ گزارش شده‌اند.

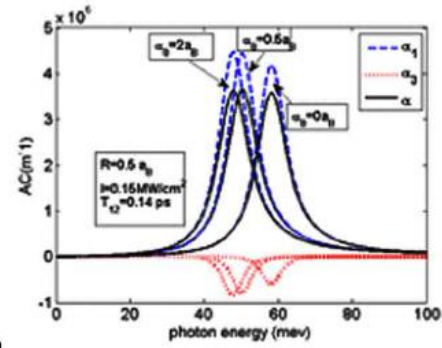


شکل ۲ نمودار ضریب جذب کل برای نقطه کوانتومی با شعاع $R = 0.5a_B$ بر حسب انرژی فوتون-های تابشی رسم شده‌اند به ازای مقادیر متفاوت تابش لیزری (الف) $a_0 = 0.5a_B$ (ب) $a_0 = 2a_B$

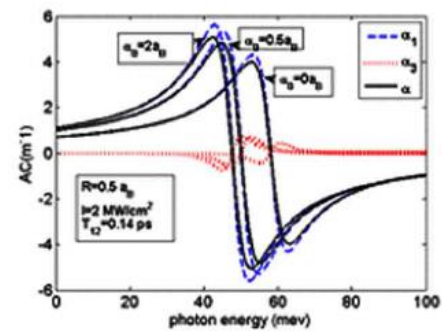


شکل ۳ نمودار ضریب جذب کل برای نقطه کوانتومی با شعاع $R = 1a_B$ بر حسب انرژی فوتون-های تابشی به ازای مقادیر متفاوت تابش لیزری (الف) $a_0 = 0.5a_B$ ، (ب) $a_0 = 2a_B$.

در شکل (۴) الف و ب و شکل (۵) الف و ب نمودار ضریب شکست کل، برای مقادیر متفاوت شعاع نقطه کوانتومی، شدت فوتون-های فرودی و تابش لیزری به صورت تابعی از انرژی فوتون-های تابشی رسم شده است. همان طور که مشاهده می‌کنیم با افزایش شدت فوتون-های فرودی تغییرات ضریب شکست کل، کاهش پیدا می‌کند و همچنین با افزایش تابش لیزری و شعاع نقطه کوانتومی تغییرات ضریب شکست کل افزایش یافته است و سیستم به سمت انرژی-های کمتر جابه‌جای طیف اپتیکی سیستم به سمت انرژی‌های کمتر به دلیل کاهش اختلاف انرژی بین حالت پایه و اولین



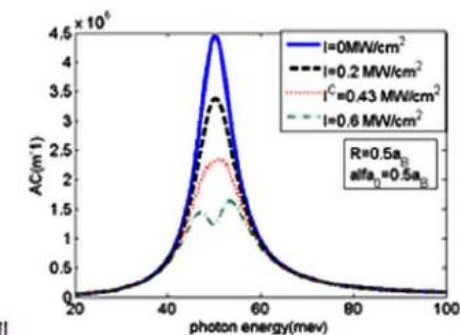
الف



ب

شکل ۱ (الف) نمودارهای ضریب جذب خطی، مرتبه سوم غیر خطی و (ب) ضریب جذب کلی و تغییرات ضریب شکست خطی مرتبه سوم غیرخطی و تغییرات ضریب شکست کل نقطه کوانتومی با شعاع $R = 0.5a_B$ به شعاع تابعی از انرژی فوتون-های و به ازای مقادیر متفاوت تابش لیزری.

در شکل (۲) (الف) و ب نمودار ضریب جذب کل به ازای $a_0 = 0.5, 2a_B$ و $R = 1a_B$ و $R = 0.5a_B$ به ازای شدت-های مختلف مخاطب شده است. همانطور که مشاهده می‌شود با افزایش شدت فوتون-های فرودی ضریب جذب کل کاهش پیدا می‌کند. بیشینه مقدار ضریب جذب کل به ازای شدت-های بیشتر از یک شدت ویژه به دو قله شکسته می‌شود. شدت ویژه با افزایش تابش لیزری و شعاع نقطه کوانتومی کاهش می‌یابد و همچنین افزایش شعاع و تابش لیزری باعث جابه‌جای طیف اپتیکی سیستم به سمت انرژی‌های کمتر می‌شود.



الف

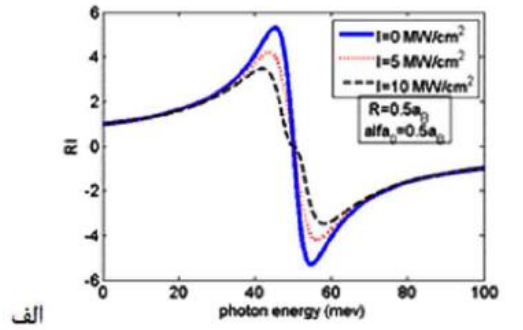
۴-نتیجه-گیری:

در این مقاله خواص اپتیکی خطی و مرتبه سوم غیر خطی یک نقطه کوانتومی کروی مورد بررسی قرار گرفت. در مرکز نقطه کوانتومی یک ناچالصی هیدروژنی در نظر گرفته شد، با فرض بر آنکه این سیستم تحت نأثیر یک تابش لیزری قرار گرفته است. وجود همزمان تابش لیزری و ناچالصی هیدروژنی باعث به وجود آمدن یک پتانسیل کولنی استار شده گردید که اثر قابل ملاحظه بر خواص اپتیکی سیستم داشت. به منظور محاسبه خواص اپتیکی سیستم ویژه مقادیر انرژی و ویژه توابع متناظر با آن را از روش المان محدود محاسبه شد. نتایج نشان داد که با افزایش شدت فوتون‌های تابیده شده به سیستم خواص اپتیکی مرتبه سوم افزایش پیدا کرد و در نتیجه خواص اپتیکی کل کاهش یافت و به ازای یک شدت بحرانی طیف جذبی، سیستم به حالت اشباع رسید.

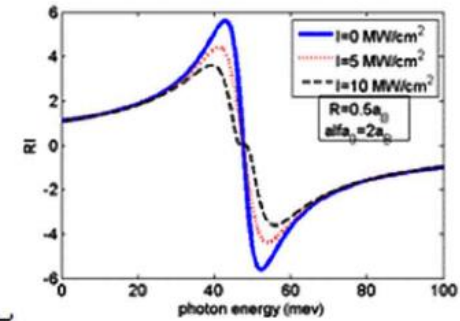
با افزایش تابش لیزری و شعاع نقطه کوانتومی طیف جذبی و تغییرات ضریب شکست سیستم، به سمت انرژی‌های کمتر، جایه جایی پیدا کرد. طیف جذبی سیستم به ازای نقاط کوانتومی با شعاع‌های بزرگتر در شدت‌های پایین‌تری به حالت اشباع رسید.

مراجع

- Journal of Crystal .(۲۰۰۲) „Chen L., Stoleru V. G., Pan D., Towe E ۲۶۳ .P, ۲۴۲ Growth .۲۹۸ .P, ۲۵ Physica E .(۲۰۰۴) „Ferry D. K., Bird J. P., Akis R ۵۷۹ .P, ۳۷۳ Physics Letters A .(۲۰۰۹) „Hassanabadi H., Rajabi A. A .۲۱۵ .P, ۵ Physica E .(۲۰۰۰) „Herbert Li E .۱۱۲۸ .P, ۴۰۷ Physica B .(۲۰۱۲) „Khordad R P , ۴۰۶ .Physica B .(۲۰۱۱) „Rezaei G., Vahdani M. R. K.. Vaseghi B .۱۴۸۸ Superlattices and Mi- .(۲۰۱۲) „Safarpour Gh., Moradi M., Barati M ۵۸۷ .P, ۵۲ crostructures .۴۴۱ .P , ۱۷۴ Computer Physics Communications .(۲۰۰۶) „Voss H .۱۴۱۱ .P, ۴۳ Physica E .(۲۰۱۱) ,Xie W

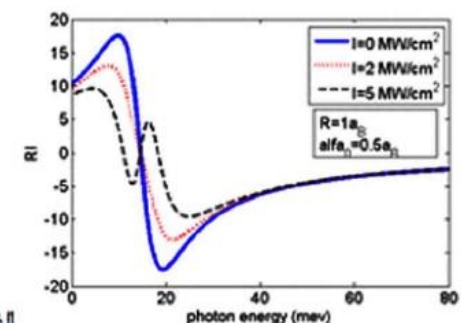


الف

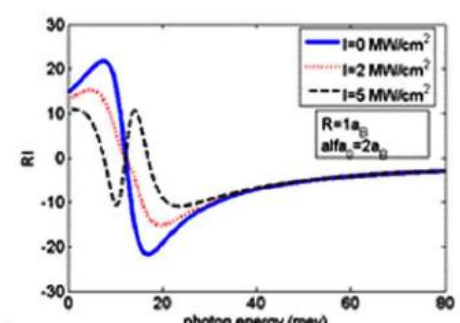


ب

شکل ۴ نمودار تغییرات ضریب شکست کل برای نقطه کوانتومی با شعاع $R = 1a_B$ بر حسب انرژی فوتون‌های تابشی به ازای مقادیر متفاوت تابش لیزری (الف) (ب)



الف



ب

شکل ۵ نمودار تغییرات ضریب شکست کل برای نقطه کوانتومی با شعاع $R = 1a_B$ بر حسب انرژی فوتون‌های تابشی به ازای مقادیر متفاوت تابش لیزری (الف) (ب)